

# 有明海における塩分・熱・CODの移動について —定常数値解析を用いた検討—

大 西 亮 一\*・白 石 英 彦\*\*

## 1. 序 論

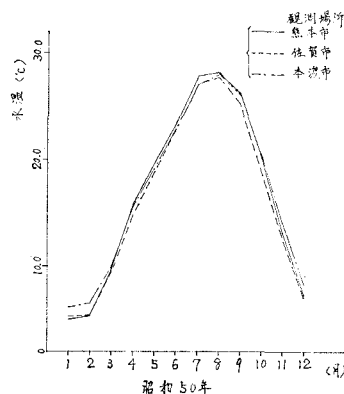
近年、沿岸漁場の水質が大きな課題となり、種々の調査研究が行われるようになった。この調査研究に、大型高速電子計算機（電算機と略す）の発達と数値解析手法の開発が大きく寄与していると思われるが、この場合に、基礎式に必要な項をどこまでとるか、各種係数はどうなるか、どのような境界条件で解析したか、などが議論される。筆者らは、有明海という閉鎖型の内湾における塩分と熱および COD の移動について、昭和 50 年の調査データと電算機を用いた数値解析によって、考察を加える。

## 2. 調査結果

有明海周辺の気象データは、気象台の調査結果から、Fig. 1 のようになる。河川流量は、1 級河川については、建設省河川管理事務所の流量年表があり、一部、農林水産省九州農政局の調査結果があるので、これを用いて比流量を求め、全流域の流出量を、Table 1 のように求めた。

水質の調査は、福岡県、熊本県、佐賀県の水産試験場が Fig. 2 に示し定点で、毎月 1 回、一斉調査を行っている。このデータを整理すれば、Fig. 3~9 となる。

これらの結果から、塩分濃度は、6 月の降雨の影響で



湾央部は、7 月が最低となり、湾口部は、8 月が最低となる。この間の時間遅れは、湾央部で 1 カ月、湾口部で 2 カ月と見ることができる。水温は、夏期では、湾口部に対して、湾奥部が高く、冬期は、逆に湾奥部が低くなることがわかる。COD は、河川流量の多い 6 月に流出量も多くなると考えられるが、湾奥部の佐賀 No. 8 よりも No. 5 が高くなり、また、No. 5 と No. 11 では、位相が、No. 5 の方が遅れるので、筑後川から流出したもののが拡散するのみとは考えられない。また、湾奥部では、河川流量との相関は見られない。そこで、COD の生減に大きく影響すると考えられているリン ( $\text{PO}_4$ ) 濃度

Table 1 河川の流域面積 (8 334 km<sup>2</sup>) および河川流量 (6 月)

番号	河 川 名	流域面積 (km <sup>2</sup> )	比 流 量 (m <sup>3</sup> /sec/100 km <sup>2</sup> )	月平均流量 (m <sup>3</sup> /sec)	番号	河 川 名	流域面積 (km <sup>2</sup> )	比 流 量 (m <sup>3</sup> /sec/100 km <sup>2</sup> )	月平均流量 (m <sup>3</sup> /sec)
1	有 家 川	148.0	11.96	17.70	11	嘉 瀬 川	453.0	11.347	51.40
2	大 手 川	107.2	11.96	12.82	12	筑 後 川	2 860.0	11.927	341.11
3	山 田 川	103.2	11.96	12.34	13	矢 部 川	618.3	15.58	96.33
4	本 明 川	98.1	20.084	16.70	14	大 岸 田 川	117.7	15.58	18.34
5	深 海 川	26.6	11.95	3.18	15	菜 切 川	121.5	15.58	18.93
6	境 川	57.2	20.35	11.64	16	菊 地 川	995.0	15.140	15.06
7	多 良 川	39.6	11.347	4.49	17	坪 井 川	236.0	15.140	35.73
8	鹿 島 川	74.4	11.347	8.44	18	白 川	480.0	17.214	82.62
9	塩 田 川	128.2	11.347	14.55	19	緑 川	1 127.0	28.404	320.11
10	六 角 川	341.0	11.347	38.69	20	網 田 川	52.4	11.96	6.27
					21	広 瀬 川	149.6	11.96	17.89

\* 正会員 農林水産省農業土木試験場水利部  
\*\* 農博 農林水産省農業土木試験場水利部室長

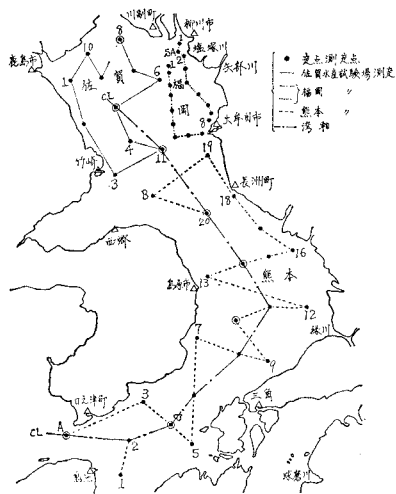


Fig. 2 水質の定点観測点位置

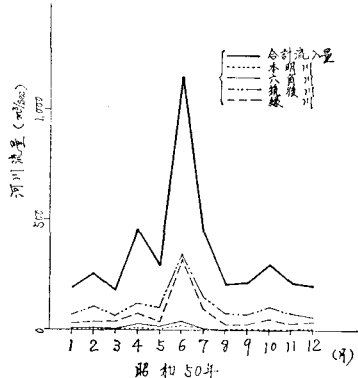


Fig. 3 月平均流量

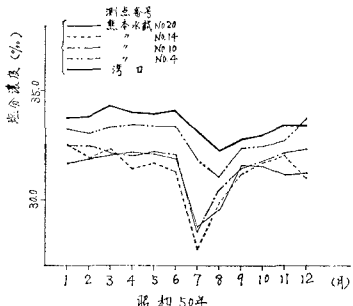


Fig. 4 塩分濃度(表面付近)

を見ると、リン濃度は、秋から冬にかけて高くなり、春には最低となる。また、湾奥の濃度が高く、湾口へ行くにしたがって低くなる。しかし、位相のずれが明確でないので、拡散のみとは考えがたい。

塩分濃度と水温の沿直分布は、Fig. 8, 9 から、8月を除いて、ほぼ、沿直方向に一様と考えられる。

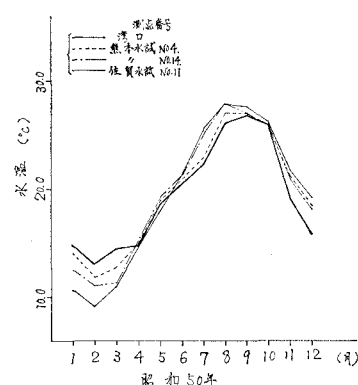


Fig. 5 水温(表面付近)

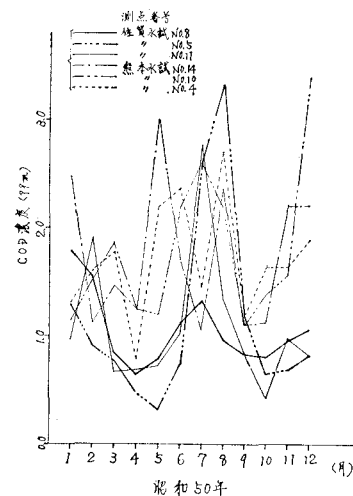


Fig. 6 COD濃度(表面付近)

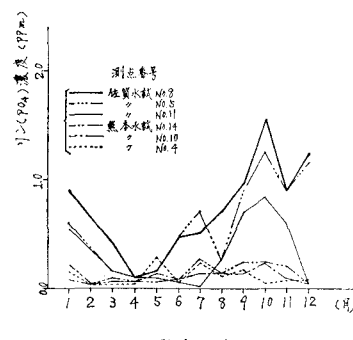
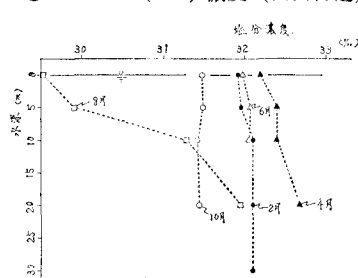
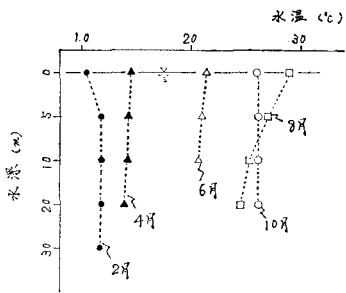
Fig. 7 リン(PO<sub>4</sub>)濃度(表面付近)

Fig. 8 塩分濃度の鉛直分布(熊本 No. 20)



### 3. 解析方法

#### (1) 流れの基礎式

有明海を平面的に解析することを考え、水深方向に積分した形で、運動方程式として次式を用いる。

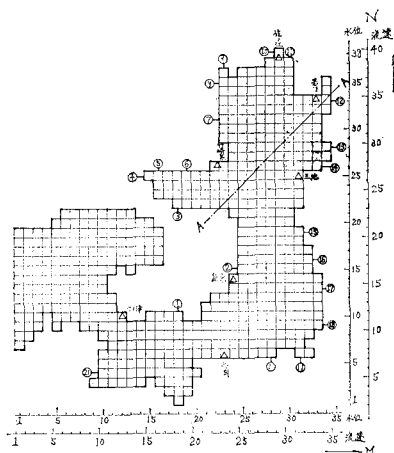


Fig. 10 解析モデル

$$\left. \begin{aligned} \frac{\partial Q_x}{\partial t} + U \frac{\partial Q_x}{\partial x} + V \frac{\partial Q_x}{\partial y} &= f \cdot Q_y - g \cdot h \frac{\partial z_s}{\partial x} \\ &+ \varepsilon_h \cdot h \left( \frac{\partial^2 U}{\partial x^2} + \frac{\partial^2 U}{\partial y^2} \right) + \gamma_b^2 \cdot U \cdot \sqrt{U^2 + V^2} \\ \frac{\partial Q_y}{\partial t} + U \frac{\partial Q_y}{\partial x} + V \frac{\partial Q_y}{\partial y} &= -f \cdot Q_x - g \cdot h \frac{\partial z_s}{\partial y} \\ &+ \varepsilon_h \cdot h \left( \frac{\partial^2 V}{\partial x^2} + \frac{\partial^2 V}{\partial y^2} \right) + \gamma_b^2 \cdot V \cdot \sqrt{U^2 + V^2} \end{aligned} \right\} \quad (1)$$

連続方程式は、次式を用いる。

$$\frac{\partial z_s}{\partial t} + \frac{\partial Q_x}{\partial x} + \frac{\partial Q_y}{\partial y} = q \quad (2)$$

ここに、 $t, x, y$ : 時間、東西、南北方向の座標

$$Q_x = \int_0^h u \cdot dz, \quad Q_y = \int_0^h v \cdot dz,$$

$$U = \frac{Q_x}{h}, \quad V = \frac{Q_y}{h}$$

$u, v$ :  $x, y$  方向の流速,  $f$ : コリオリの係数,  $h$ : 水深,  $g$ : 重力加速度,  $\varepsilon_h$ : 水平渦粘性係数,  $\gamma_b^2$ : 抵抗係数,  $z_s$ : 水面標高,  $q$ : 横流入量である.  $\gamma_b^2$ : のかわりに,

マニングの  $n$  を使えば、次のようになる。

$$\gamma_b^2 = \frac{g \cdot n^2}{h^{1/3}} \quad (3)$$

#### (2) 拡散の基礎式

拡散方程式も水深方向に積分した形で、次式を用いる。

$$\begin{aligned} \frac{\partial \bar{C}}{\partial t} + U \cdot h \cdot \frac{\partial \bar{C}}{\partial x} + V \cdot h \cdot \frac{\partial \bar{C}}{\partial y} &= \frac{\partial}{\partial x} \left( \kappa_x \cdot h \cdot \frac{\partial \bar{C}}{\partial x} \right) \\ &+ \frac{\partial}{\partial y} \left( \kappa_y \cdot h \cdot \frac{\partial \bar{C}}{\partial y} \right) + C_r \cdot q + C_d \end{aligned} \quad (4)$$

ここに、 $\bar{C}$ : 水深平均濃度,  $C_r$ : 横流入濃度,  $C_d$ : 非保存項,  $\kappa_x, \kappa_y$ :  $x, y$  方向の拡散係数である。

#### (3) 解析方法と解析モデル

式(1), (2), (4)を、中村・白石法<sup>1)</sup>で差分式に変換して、数値解析を行う。解析モデルは、有明海を Fig. 10 に示すように、 $\Delta x = \Delta y = 2000 \text{ m}$  メッシュに区切り、湾の外、約 30 km の富岡を外海の境界とした。河川流は、Table 1 に示す河川を、Fig. 10 のように流入するとした。

計算方法としては、堀口<sup>2)</sup>の方法を考える場合には、外海の境界で潮位を次式のように与えた。

$$z_s \Big|_{\text{外海}} = z_0 + H \cdot \sin \omega t \quad (5)$$

ここに、 $\omega$ : 潮汐の角速度で半日潮を考え、3 波目の潮流が、ほぼ、定常に達したものとして使用した。

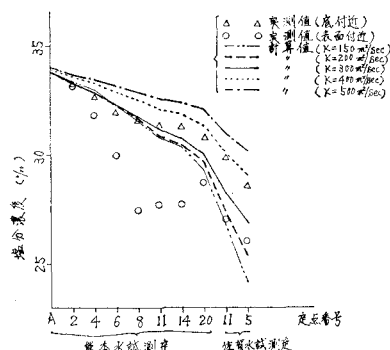
外海の潮汐を考えない場合は、 $z_s = \text{const.}$  として、25 時間目の流況を、定常流況とした。

### 4. 解析結果

#### (1) 塩分濃度の解析結果

湾外境界の水位を、0.0 m として、河川流量による定常流況を作り、その流れを用いて、塩分濃度の解析をした。なお、非保存項  $C_d = 0$  とした。また、拡散係数  $\kappa_x = \kappa_y = 400 \text{ m}^2/\text{sec}$  として、定常濃度に達するのに 3000 時間以上必要であった。堀口<sup>2)</sup>の東京湾における解析結果では、30 波約 360 時間で、ほぼ定常に達したとしているのに較べて、約 10 倍の時間を必要とする。

次に、種々の拡散係数を用いて計算し、約 1 カ月間の値として、625 時間で比較した結果を、Fig. 11 に示



す。Fig. 11 では、河川流として 6 カ月平均流量を用い、実測塩分濃度は、7月10日の測定値である。ただし、海上への降雨は、省略した。この結果から、表面は、少し問題があるが、底付近では、 $\kappa_x = \kappa_y = 300 \sim 400 \text{ m}^2/\text{sec}$  が、よく塩分濃度を説明することが判る。

### (2) 水温の解析結果

水温の解析も塩分濃度の解析と同様な方法を用いたが、非保存項  $C_b$  を、海面からの熱の授受を考えて、次のように与えた<sup>3), 4)</sup>。

$$C_b = (Q_s - Q_b + Q_h + Q_e)/C_w \cdot 4x \cdot \Delta y \quad \dots \dots \dots (6)$$

ここに、 $C_w$ : 水の比熱、 $Q_s$ : 輻射量 ( $\text{cal} \cdot \text{cm}^{-2} \text{ sec}^{-1}$ )、 $Q_b$ : 海水面からの逆輻射量、 $Q_h$ : 顕熱量 (対流により、大気と海面の間の出入りする熱交換量)、 $Q_e$ : 潜熱量 (蒸発、凝結による熱移動量) である。輻射量については、山本の東京での値が次式となっている。

$$Q_s = Q_A \left( 0.18 + 0.55 \frac{n_n}{M} \right) \cdot R_f \cdot \cos \varphi \quad \dots \dots \dots (7)$$

ここに、 $Q_A$ :  $1.94 \text{ cal} \cdot \text{cm}^{-2} \text{ min}^{-1}$ 、 $n_n$ : 日照時間、 $M$ : 可照時間、 $R_f$ : アルベド、 $\varphi$ : 太陽の天頂距離である。

水面のアルベドは、Frennel の式で、次のようになる。

$$R_f = \frac{1}{2} \left\{ \frac{\sin^2(i-r)}{\sin^2(i+r)} + \frac{\tan^2(i-r)}{\tan^2(i+r)} \right\} \quad \dots \dots \dots (8)$$

ここに、 $i$ : 入射角、 $r$ : 屈折角である。

いま、 $n_n/M = 0.7$ 、可照時間を、2月を考えて、12時間とすれば、夜間も含めた日平均輻射量は、

$$Q_s = 6.07 \times 10^{-3} \text{ cal} \cdot \text{cm}^{-2} \text{ sec}^{-1} \quad \dots \dots \dots (9)$$

となる。

海水からの逆輻射は、次式を用いる。

$$Q_b = \sigma(\theta + 273)^4 (1 - a - b\sqrt{e(T_a)}) (1 - K \cdot N) \quad \dots \dots \dots (10)$$

ここに、 $T_a$ : 気温 ( $^{\circ}\text{C}$ )、 $e(T_a)$ : 水面付近の水蒸気量 (mb)、 $a, b$ : 山本の定数 ( $a=0.44, b=0.08$ )、 $\sigma$ : ステファン・ボルツマン定数 ( $= 1.367 \times 10^{-2} \text{ cal} \cdot \text{cm}^{-2} \text{ sec}^{-1} \text{ K}^4$ )、 $N$ : 雲量 ( $= 0 \sim 10$ )、 $K$ : 雲の高さによる係数、雲の高さ 1.5~2 km に対して、 $K=0.083$  である。気温と飽和水蒸気圧の関係は次の2次式で近似する。

$$e(T_a) = f_a (0.04038 \cdot T_a^2 - 0.03211 \cdot T_a + 7.86) \quad \dots \dots \dots (11)$$

ここに、 $f_a$ : 相対湿度 (60~80%) である。

顕熱量  $Q_h$  は、次式を用いる。

$$Q_h = h_a(T_a - \theta) \quad \dots \dots \dots (12)$$

ここに、 $h_a$ : 顕熱伝達係数で次式となる。

$$h_a = 2.77 \times 10^{-4} (0.48 + 0.272 \cdot W) \quad \dots \dots \dots (13)$$

ここに、 $W$ : 風速 (m/sec) である。

潜熱量  $Q_e$  は、次式を用いる。

$$Q_e = 2 \cdot h_a \{ e(T_a) - e(\theta) \} \quad \dots \dots \dots (14)$$

ここに、 $e(\theta)$ : 水温に対する飽和水蒸気圧である。

風速は、有明海周辺では、0~5 m/sec が最も度数が多

Table 2 水温の計算ケース

Case	$Q_s (\times 1000)$	風速 (m/sec)	相対湿度 (%)
1-1	9.0	3.0	80
1-2	6.07	3.0	80
1-3	3.03	3.0	80
2-1	9.0	5.0	70
2-2	6.07	5.0	70
2-3	3.03	5.0	70

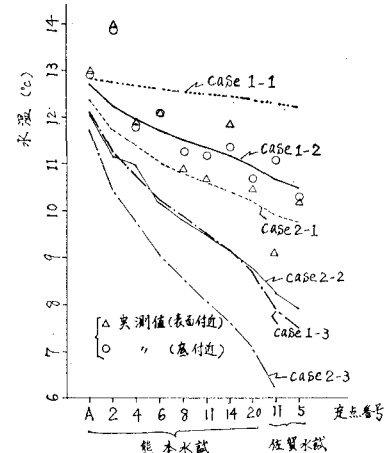


Fig. 12 水温の実測値と計算値との比較

いので、計算ケースとして Table 2 に示すように考えた。その結果を、Fig. 12 に示す。この結果、 $Q_s = 6.07 \times 10^{-3} \text{ cal} \cdot \text{cm}^{-2} \cdot \text{sec}^{-1}$ 、 $W = 3.0 \text{ m/sec}$ 、 $f_a = 80\%$  が、実測値を良く説明することが判る。

### (3) 潮流による分散解析との比較

環境評価の COD 濃度の解析には、堀口の方法が多く用いられているが、有明海のように潮流が大きい所では、 $\Delta t$  を小さくしなければならないので、計算量が多くなる

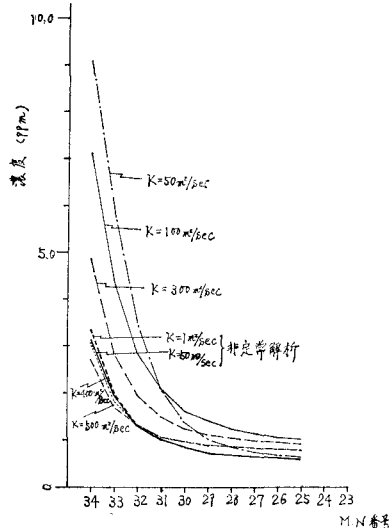


Fig. 13 潮流による分散と拡散との比較

欠点がある。そこで、塩分解析と同様な解析方法と比較したのが、Fig. 13 である。この結果から、堀口の方法では、拡散係数が  $1.0 \sim 50 \text{ m}^2/\text{sec}$  程度の変化であれば、あまり、拡散に影響ないことが判る。また、外海の境界潮位を

$$z_s = 1.04 \sin \omega t \quad \dots \dots \dots \quad (15)$$

とした場合は、 $\kappa = 300 \sim 400 \text{ m}^2/\text{sec}$  に相当することが、判る。

なお、COD 濃度の実測値との比較を試みたが、保存系としての解析では、実測値を説明しえなかつたので、非保存項の検討が必要となるであろう。

## 5. 考 察

塩分濃度の解析結果から、有明海の平均的な拡散係数として、 $\kappa = 3.0 \sim 4.0 \times 10^2 \text{ m}^2/\text{sec}$  が得られた。これまでの多くの研究から、沿岸海域の拡散係数として、Richardson の 4/3 乗則で次式で、説明できるといわれている。

このため、 $\kappa = 3.0 \sim 4.0 \times 10^2 \text{ m}^2/\text{sec} = 3.0 \sim 4.0 \times 10^6 \text{ m}^2/\text{sec}$  は、 $l = 2.3 \times 2.8 \times 10^6 \text{ cm} = 2.3 \sim 2.8 \times 10 \text{ km}$  となる。この値は、有明海の幅に相当すると考えられる。

水温の解析結果から、海面での熱の授受を考えなければならないことが明らかとなったが、風速や相対湿度の

影響が大きい結果となった。これは、海面からの熱の授受に蒸発が大きく影響するためと考えられる。また、水温解析では、影響する水深が重要と考えられるが、冬期は、冷却作用であるので、冷された水は下層へ下がるため、全層がほぼ一様になっていると考えられる。しかし、夏期では、Fig.-9 からもわかるように、影響水深を考えなければならないと考える。

COD 濃度の解析では、基礎式の問題とともに、河川流量の変化により、COD 濃度が変化すると考えられるが、詳細なデータがないので、今後の検討事項と看做したい。

**謝辞：** 本研究は、農業土木学会長嶺南部環境影響評価委員会（水質水象部会長、九大 田中宏平教授）の一環として行ったもので、委員の方々から、御指導を賜った、ここに深く感謝の意を表します。

## 参 考 文 献

- 1) 中村 充・白石英彦: 数理モデルによる非定常現象の解析——湾・河川・潮に於けるシュミレーション——, 農土試報告, 第9号, pp. 137~158, 1971.
  - 2) 堀口孝男: 汚染物質拡散の数値解法について, 第16回海講講演集, pp. 185~193, 1969.
  - 3) 水理公式集(昭和46年改訂版), 土木学会, pp. 359~361, 1972.
  - 4) 農業土木ハンドブック(改訂三版), 丸善, pp. 915~923, 1969.